

Capítulo 1

Relatividade Restrita

1.1 *Introdução

Pensar em como introduzir o texto.

1.2 *Postulados da Relatividade Restrita

A Relatividade Restrita baseia-se em dois postulados:

- (I) As leis da física se aplicam a todos os referenciais inerciais
- (II) A velocidade da luz é a mesma para todos os referenciais inerciais.

O primeiro postulado nós dá uma noção de referenciais preferenciais. Um referencial inercial é um em que um objeto inicialmente em repouso continuará em repouso. Por causa da gravidade, referenciais inerciais devem estar em queda livre, mas a Relatividade Restrita descreve eventos sem gravidade, de modo que, na prática, podemos descrever referenciais inerciais em termos de seu movimento relativo em velocidade constante.

O postulado (I) é uma generalização do princípio da *Invariância de Galileu*, de modo a abranger a eletrodinâmica, além da mecânica. No entanto, as equações de Maxwell referenciam explicitamente a velocidade da luz. De fato, ela é escrita em termos da permissividade elétrica ϵ_0 e a permeabilidade magnética μ_0 do vácuo, que são constantes que podem ser medidas experimentalmente. As equações de Maxwell prevêm que as ondas eletromagnéticas (incluindo a luz) possuem velocidade (no vácuo) de

$$c = \frac{1}{\sqrt{\epsilon_0 \mu_0}}$$

No entanto, não há uma referência a qual referencial essa velocidade é observada. O experimento de Michelson-Morley, realizado em 1887, foi realizado a fim de mostrar que essa velocidade é em relação ao éter, de modo que nós poderíamos medir nosso próprio movimento em relação ao éter ao medirem-se as variações de c dependentes da direção. No entanto, o experimento mostrou que não há tais variações. Einstein então argumentou que não existe, portanto, éter. O postulado (I) junto com as equações de Maxwell então, nos leva ao postulado (II).

Uma conclusão imediata que segue de ambos os postulados é que dois observadores podem não concordar na simultaneidade entre dois eventos – na verdade, eles discordam, no geral. Por exemplo, considere um trem com uma lâmpada no centro (Figura 1.1 (a))

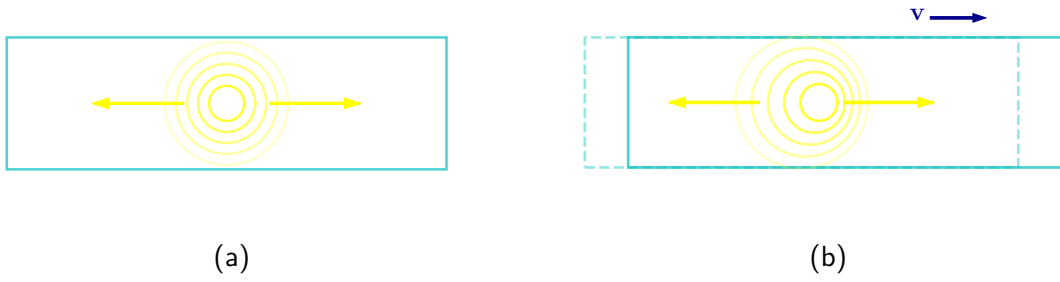


Figura 1.1: Feixes de luz partindo do centro de um trem ao mesmo tempo para (a) um observador que anda junto ao trem e (b) para um observador que vê o trem movendo-se com velocidade v para a direita.

Para um observador dentro do trem, independentemente do movimento deste, os dois feixes de luz chegarão às paredes ao mesmo tempo. No entanto, para um observador que observe o trem movendo-se para a direita, o feixe viajando para a esquerda chegará primeiro (Figura 1.1 (b)). Para esse observador, o trem possui uma velocidade adicional v , mas a luz continua com a mesma velocidade c (ambos os feixes), segundo o postulado (II), resultando em distâncias diferentes para serem percorridas até as paredes.

1.3 *Dilatação temporal e contração espacial

1.4 *Transformações de Lorentz

Suponha que um observador O' se move para a direita com velocidade v . Se x denota a distância de um objeto a um observador parado O , então a distância entre o objeto e O' , medido por O , será $x - vt$. Mas, utilizando $\Delta x' = \gamma \Delta x$, temos que

$$x' = \gamma(x - vt). \quad (1.1)$$

Pelo postulado (I), se trocarmos o papel de O e O' , nada deve mudar, exceto o fato de que a velocidade relativa agora é $-v$. Por simetria, pode-se concluir então que

$$x = \gamma(x' + vt'). \quad (1.2)$$

Combinando ambas as equações, obtemos

$$t' = \gamma \left(t - \frac{v}{c^2} x \right) \quad (1.3)$$

e, pelo mesmo argumento utilizado anteriormente, podemos invertê-la como

$$t = \gamma \left(t' + \frac{v}{c^2} x' \right). \quad (1.4)$$

As equações (1.1) e (1.3) são as transformações de Lorentz de O para O' e, trocando-se v por $-v$, obtemos as inversas (1.2) e (1.4).

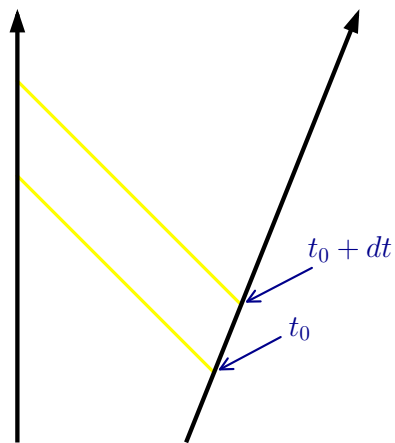


Figura 1.2: Efeito Doppler Relativístico.

Capítulo 2

*Campos vetoriais e tensoriais

2.1 Sistemas de coordenadas no espaço euclidiano

Considerando um espaço euclidiano tridimensional equipado com um sistema cartesiano de coordenadas (x, y, z) e um conjunto de vetores associados $\{\mathbf{i}, \mathbf{j}, \mathbf{k}\}$. Seja um outro sistema de coordenadas (u, v, w) não-cartesiano. Nós podemos expressar as coordenadas cartesianas em termos destas:

$$x = x(u, v, w), \quad y = y(u, v, w), \quad z = z(u, v, w) \quad (2.1)$$

E, à princípio, inverter as relações e escrever u, v, w em termos de x, y, z . A equação (2.1) em notação vetorial fica:

$$\mathbf{r} = x(u, v, w)\mathbf{i} + y(u, v, w)\mathbf{j} + z(u, v, w)\mathbf{k} \quad (2.2)$$

Agora, pode-se fixar uma das coordenadas, chegando em uma superfície parametrizada pelas outras duas. Por exemplo, fazendo-se $w = w_0$, temos a superfície coordenada $\mathbf{r} = x(u, v, w_0)\mathbf{i} + y(u, v, w_0)\mathbf{j} + z(u, v, w_0)\mathbf{k}$ parametrizada por u, v e analogamente para as outras duas.

Fixando-se duas coordenadas (e.g. $v = v_0, w = w_0$), tem-se uma curva coordenada parametrizada em u (neste caso, dada pela interseção das superfícies coordenadas $v = v_0$ e $w = w_0$).

$$\mathbf{r} = x(u, v_0, w_0)\mathbf{i} + y(u, v_0, w_0)\mathbf{j} + z(u, v_0, w_0)\mathbf{k} \quad (2.3)$$

As outras curvas coordenadas são geradas da mesma maneira. Derivando-se a equação (2.3) em relação ao parâmetro u , tem-se o vetor tangente à curva coordenada. Mas isso é igual a derivar parcialmente em u a equação (2.2). Assim, os vetores tangentes às curvas coordenadas que passam por $P = (u_0, v_0, w_0)$ são

$$\boxed{\mathbf{e}_u \equiv \partial \mathbf{r} / \partial u, \quad \mathbf{e}_v \equiv \partial \mathbf{r} / \partial v, \quad \mathbf{e}_w \equiv \partial \mathbf{r} / \partial w} \quad (2.4)$$

Com as derivadas tomadas em (u_0, v_0, w_0) .

Sejam

$$h_1 \equiv |\mathbf{e}_u|, \quad h_2 \equiv |\mathbf{e}_v|, \quad h_3 \equiv |\mathbf{e}_w|$$

Podem-se normalizar os vetores:

$$\hat{\mathbf{e}}_u = \frac{1}{h_1} \mathbf{e}_u, \quad \hat{\mathbf{e}}_v = \frac{1}{h_2} \mathbf{e}_v, \quad \hat{\mathbf{e}}_w = \frac{1}{h_3} \mathbf{e}_w$$

O conjunto $\{\hat{\mathbf{e}}_u, \hat{\mathbf{e}}_v, \hat{\mathbf{e}}_w\}$ forma uma base em P e, assim, podemos escrever qualquer vetor λ na forma

$$\lambda = \alpha \hat{\mathbf{e}}_u + \beta \hat{\mathbf{e}}_v + \gamma \hat{\mathbf{e}}_w$$

A terna α, β, γ compõe as coordenadas nessa base.

Outro modo de se criar uma base é com a normal das superfícies coordenadas. Invertendo as relações (2.1), temos

$$u = u(x, y, z), \quad v = v(x, y, z), \quad w = w(x, y, z) \quad (2.5)$$

Assim, podemos trabalhar com cada coordenada como um campo escalar e calcular seu gradiente:

$$\begin{aligned} \nabla u &= \frac{\partial u}{\partial x} \mathbf{i} + \frac{\partial u}{\partial y} \mathbf{j} + \frac{\partial u}{\partial z} \mathbf{k} \\ \nabla v &= \frac{\partial v}{\partial x} \mathbf{i} + \frac{\partial v}{\partial y} \mathbf{j} + \frac{\partial v}{\partial z} \mathbf{k} \\ \nabla w &= \frac{\partial w}{\partial x} \mathbf{i} + \frac{\partial w}{\partial y} \mathbf{j} + \frac{\partial w}{\partial z} \mathbf{k} \end{aligned} \quad (2.6)$$

A cada ponto P , esses vetores são normais às superfícies coordenadas correspondentes, que são $u = u_0, v = v_0, w = w_0$. Assim, eles formam uma base alternativa em P . Chamamo-na de base *dual*. Para diferenciá-la da obtida anteriormente, os sufixos são sobrescritos:

$$\boxed{\mathbf{e}^u \equiv \nabla u, \quad \mathbf{e}^v \equiv \nabla v, \quad \mathbf{e}^w \equiv \nabla w} \quad (2.7)$$

Dado um campo vetorial λ , é possível escrevê-lo em ambas as bases:

$$\begin{aligned} \lambda &= \lambda^u \mathbf{e}_u + \lambda^v \mathbf{e}_v + \lambda^w \mathbf{e}_w \\ \lambda &= \lambda_u \mathbf{e}^u + \lambda_v \mathbf{e}^v + \lambda_w \mathbf{e}^w \end{aligned} \quad (2.8)$$

Capítulo 3

O espaço-tempo da relatividade geral e trajetórias de partículas

3.1 *Geodésicas

Uma geodésica num espaço Euclideano é simplesmente uma reta, que pode ser caracterizada como a menor curva que liga dois pontos. Pode-se generalizar essa definição para a geodésica de uma variedade, onde o tensor de métrica dá o comprimento de uma curva pela integral da equação **eq:ComprimentoCurvaTensorMetrica**. No entanto, essa abordagem pode trazer problemas quando podem existir curvas (ou partes delas) com comprimento nulo. Dessa forma, caracterizaremos uma reta por sua *retidão* e usaremos isso para definir geodésicas numa variedade.

Utilizando o comprimento de arco s medido de um ponto de base numa reta como parâmetro, então os vetores tangentes $\lambda \equiv \dot{\mathbf{r}}(s)$ tem módulo constante – dado que são vetores unitários –, então, dizer que têm direção constante é o mesmo que dizer

$$d\lambda/ds = 0 \quad (3.1)$$

Utilizando essa equação em uma base arbitraria de coordenadas u^i e sua base natural $\{\mathbf{e}_i\}$, onde $\lambda = \lambda^i \mathbf{e}_i$ e os pontos indicam derivadas em relação a s , temos

$$0 = d\lambda/ds = d(\lambda^i \mathbf{e}_i)/ds = \dot{\lambda}^i \mathbf{e}_i + \lambda^i \dot{\mathbf{e}}_i \quad (3.2)$$

Como $\dot{\mathbf{e}}_i = \partial_j \mathbf{e}_i \dot{u}^j$ e o podemos escrever $\partial_j \mathbf{e}_i$ em termos da base $\{\mathbf{e}_k\}$, de modo que

$$\partial_j \mathbf{e}_i = \Gamma_{ij}^k \mathbf{e}_k \quad (3.3)$$

O que dá origem a 27 quantidades Γ_{ij}^k definidas em cada ponto no espaço. Juntando as equações (3.3) e (3.2), chegamos em

$$(\dot{\lambda}^i + \Gamma_{jk}^i \lambda^j \dot{u}^k) \mathbf{e}_i = 0 \quad (3.4)$$

Uma vez que $\lambda^i = \dot{u}^i = du^i/ds$, chegamos que as componentes du^i/ds do vetor tangente à reta satisfazem

$$\frac{d^2 u^i}{ds^2} + \Gamma_{jk}^i \frac{du^j}{ds} \frac{du^k}{ds} = 0 \quad (3.5)$$

A fim de encontrar Γ_{jk}^i em termos de quantidades conhecidas, primeiramente notamos que

$$\partial_j \mathbf{e}_i = \frac{\partial^2 \mathbf{r}}{\partial u^j \partial u^i} = \frac{\partial^2 \mathbf{r}}{\partial u^i \partial u^j} = \partial_i \mathbf{e}_j$$

de modo que $\Gamma_{ij}^k \mathbf{e}_k = \Gamma_{ji}^k \mathbf{e}_k$. Tomando o produto interno com \mathbf{e}^l , temos a propriedade simétrica:

$$\boxed{\Gamma_{ij}^l = \Gamma_{ji}^l} \quad (3.6)$$

Usando que $g_{ij} = \mathbf{e}_i \cdot \mathbf{e}_j$, temos

$$\begin{aligned} \partial_k g_{ij} &= \partial_k \mathbf{e}_i \cdot \mathbf{e}_j + \mathbf{e}_i \cdot \partial_k \mathbf{e}_j = \Gamma_{ik}^m \mathbf{e}_m \cdot \mathbf{e}_j + \mathbf{e}_i \cdot \Gamma_{jk}^m \mathbf{e}_m \\ \Rightarrow \partial_k g_{ij} &= \Gamma_{ik}^m g_{mj} + \Gamma_{jk}^m g_{im} \end{aligned} \quad (3.7)$$

Apenas trocando os índices, obtemos

$$\partial_i g_{jk} = \Gamma_{ji}^m g_{mk} + \Gamma_{ki}^m g_{jm} \quad (3.8)$$

e

$$\partial_j g_{ki} = \Gamma_{kj}^m g_{mi} + \Gamma_{ij}^m g_{km} \quad (3.9)$$

Subtraindo-se a equação (3.9) da soma ((3.8)+(3.7)), obtemos

$$2\Gamma_{ki}^m g_{mj} = \partial_k g_{ij} + \partial_i g_{jk} - \partial_j g_{ki}$$

que, por sua vez, ao contrair-se com $\frac{1}{2}g^{lj}$ gera

$$\boxed{\Gamma_{ki}^l = \frac{1}{2}g^{lj} (\partial_k g_{ij} + \partial_i g_{jk} - \partial_j g_{ki})} \quad (3.10)$$

Assim, a equação (3.5) com o tensor Γ_{jk}^i dado pela equação (3.10) é a *equação geodésica* para um espaço euclidiano.

Para um parâmetro t da forma $t = As + B$, com $A \neq 0, B$ constantes, a equação geodésica possui a mesma forma indicada:

$$\frac{d^2 u^i}{dt^2} + \Gamma_{jk}^i \frac{du^j}{dt} \frac{du^k}{dt} = 0 \quad (3.11)$$

Os parâmetros cujas equações são dessa forma são chamados de *parâmetros afins*. Nesses casos, ds/dt é constante e, se t for pensado como o tempo, a geodésica é atravessada a velocidade constante.

A equação (3.11) é um sistema de equações diferenciais de segunda ordem cuja solução geral $u^i(t)$ gera as geodésicas do espaço euclidiano em qualquer sistemas de coordenadas que estivermos utilizando.

Utilizando esses resultados, podemos definir uma *geodésica afim* como uma variedade Rimanniana ou pseudo-Rimanniana como uma curva $x^a(u)$ dada satisfazendo

$$\boxed{\frac{d^2 x^a}{du^2} + \Gamma_{bc}^a \frac{dx^b}{du} \frac{dx^c}{du} = 0} \quad (3.12)$$

Onde Γ_{bc}^a é dado por $\Gamma_{bc}^a = \frac{1}{2}g^{ad}(\partial_b g_{dc} + \partial_c g_{bd} - \partial_d g_{bc})$. Essas quantidades são chamadas de *coeficientes de conexão*. Em uma geodésica afim, o módulo do vetor tangente \dot{x}^a permanece constante e, caso a geodésica não seja nula, o parâmetro afim é dado pelo comprimento de arco s por $u = As + B$ onde $A \neq 0, B$ são constantes. Em uma geodésica nula, os vetores tangentes satisfazem $g_{ab}\dot{x}^a\dot{x}^b = 0$ e o comprimento de arco não pode ser utilizado como parâmetro.

Escrever sobre Lagrangiana

3.2 *Transporte paralelo

Seja γ uma curva no espaço euclidiano tridimensional dado parametricamente por $u^i(t)$ e seja P_0 com parâmetro t_0 ser o ponto inicial dessa curva onde é dado um vetor λ_0 . Pode-se pensar em transportar λ_0 ao longo de γ sem nenhuma mudança em seu comprimento ou direção, de modo a obter um vetor paralelo $\lambda(t)$ em cada ponto da curva. O resultado é um campo vetorial paralelo ao longo de γ gerado pelo *transporte paralelo* de λ_0 . Como não há mudanças em sua direção e sentido, o vetor satisfaz a equação diferencial

$$d\lambda/dt = 0 \quad (3.13)$$

que é idêntica à equação (3.1). Assim, fazendo as mesmas modificações e, à partir da equação (3.4), chegamos que as componentes do vetor satisfazem

$$\dot{\lambda}^i + \Gamma_{jk}^i \lambda^j \dot{u}^k = 0 \quad (3.14)$$

em que os coeficientes de conexão são dados pela equação (3.10).

CRIAR AMBIENTE DE EXEMPLO Considere uma esfera de raio a , com coordenadas $u^1 \equiv \theta, u^2 \equiv \phi$, onde θ, ϕ são os ângulos polares usuais das coordenadas esféricas, com $0 \leq \theta \leq \pi$ e $0 \leq \phi \leq 2\pi$.

Então,

$$[g_{AB}] = \begin{bmatrix} a^2 & 0 \\ 0 & a^2 \sin^2 \theta \end{bmatrix}$$

e seus únicos coeficientes de conexão não nulos são **(FAZER EXERCÍCIO 2.1.5 E CITAR AQUI)**

$$\Gamma_{22}^1 = -\sin \theta \cos \theta, \quad \Gamma_{12}^2 = \Gamma_{21}^2 = \cot \theta$$

Se transportarmos um vetor λ paralelamente ao longo do círculo de latitude γ dado por $\theta = \theta_0$, começando e terminando no ponto P_0 onde $\phi = 0$ (veja figura 3.1). O círculo é dado parametricamente por

$$u^A(t) = \theta_0 \delta_1^A + t \delta_2^A, \quad 0 \leq t \leq 2\pi,$$

de modo que $\dot{u}^A = \delta_2^A$ e a equação de transporte paralelo **(citar?)** se torna $\dot{\lambda}^A + \Gamma_{B2}^A \lambda^B = 0$, que é equivalente ao par

$$\begin{cases} \dot{\lambda}^1 - \sin \theta_0 \cos \theta_0 \lambda^2 = 0 \\ \dot{\lambda}^2 + \cot \theta_0 \lambda^1 = 0 \end{cases} \quad (3.15)$$

Considere que λ inicialmente seja um vetor unitário e faça um ângulo α ao leste do sul. Assim,

$$\lambda^1(0) = a^{-1} \cos \alpha, \quad \lambda^2(0) = (a \sin \theta_0)^{-1} \sin \alpha, \quad (3.16)$$

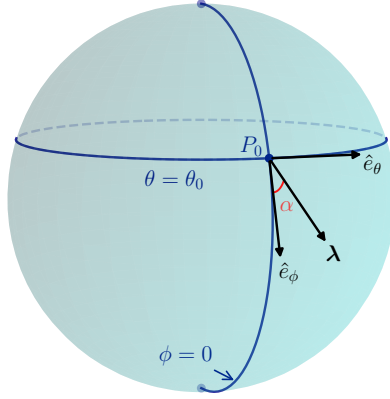


Figura 3.1: Transporte paralelo ao longo de uma circunferência de latitude γ

como pode-se perceber pelo fato de que

$$g_{AB}\lambda^A(0)\lambda^B(0) = (a^2)(a^{-1}\cos\alpha)^2 + (a^2\sin^2\theta)(a\sin\theta)^{-2}\sin^2\alpha = \cos^2\alpha + \sin^2\alpha = 1$$

e

$$g_{AB}\lambda^A(0)S^B = g_{AB}\lambda^A(0)a^{-1}\delta_1^B = g_{A1}\lambda^A(0)a^{-1} = a^2(a^{-1}\cos\alpha)a^{-1} = \cos\alpha$$

onde $S^A \equiv a^{-1}\delta_1^A$ é o vetor unitário que aponta para o sul em P_0

Assim, temos um problema de valor inicial consistindo nas equações (3.15) com condições iniciais (3.16). Substituindo a primeira equação de (3.15) na derivada da segunda, chegamos em

$$\begin{aligned}\ddot{\lambda}^2 + \cot\theta_0(\sin\theta_0\cos\theta_0\lambda^2) &= 0 \\ \Rightarrow \ddot{\lambda}^2 + \omega^2\lambda^2 &= 0, \quad \text{onde } \omega = \cos\theta_0,\end{aligned}$$

cuja solução é da forma $\lambda^2(t) = A\cos(\omega t + \varphi)$. Derivando e substituindo na segunda equação de (3.15), temos

$$\lambda^1 = -\tan\theta_0\dot{\lambda}^2 = -\tan\theta_0(-\omega A\sin(\omega t + \varphi)) = A\sin\theta_0\sin(\omega t + \varphi).$$

Aplicando-se as condições iniciais (3.16):

$$\begin{cases} A\sin\theta_0\sin\varphi = a^{-1}\cos\alpha \\ A\cos\varphi = (a\sin\theta_0)^{-1}\sin\alpha \end{cases}$$

chegamos nas soluções $\varphi = \pi/2 - \alpha$ e $A = (a\sin\theta_0)^{-1}$. Substituindo na solução e utilizando $\cos(\pi/2 - x) = \sin(x)$, chegamos na solução:

$$\begin{cases} \lambda^1 = a^{-1}\cos(\alpha - \omega t) \\ \lambda^2 = (a\sin\theta_0)^{-1}\sin(\alpha - \omega t) \end{cases} \quad (3.17)$$

Ao completar-se o caminho γ , o vetor obtido por transporte paralelo possui componentes

$$\begin{cases} \lambda^1(2\pi) = a^{-1}\cos(\alpha - 2\pi\omega) \\ \lambda^2(2\pi) = (a\sin\theta_0)^{-1}\sin(\alpha - 2\pi\omega) \end{cases}$$

Pode-se perceber que $g_{AB}\lambda^A(2\pi)\lambda^B(2\pi) = 1$, então $\lambda^A(2\pi)$ é um vetor unitário, como deveria ser, mas sua direção muda (a não ser que $\omega = 0$, como no equador). Como

$$\begin{aligned} g_{AB}\lambda^A(0)\lambda^B(2\pi) &= \cos \alpha \cos(\alpha - 2\pi\omega) + \sin \alpha \sin(\alpha - 2\pi\omega) \\ &= \cos(\alpha - (\alpha - 2\pi\omega)) \\ &= \cos 2\pi\omega, \end{aligned}$$

temos que o vetor final faz um ângulo $2\pi\omega$ com o inicial.

3.3 *Diferenciação absoluta e covariante

Considere um campo vetorial $\lambda^a(u)$ definido ao longo de uma curva γ dado parametricamente por $x^a(u)$. As N quantidades $d\lambda^a/du$ não são componentes de um vetor. Para ver isso, utilizamos um outro sistema de coordenadas e olhamos para as correspondentes quantidades $d\lambda^{a'}/du$ para ver como elas se relacionam com as originais. Elas são dadas por

$$d\lambda^{a'}/du = d(X_b^{a'}\lambda^b)/du = X_b^{a'}(d\lambda^b/du) + X_{bc}^{a'}(dx^c/du)\lambda^b \quad (3.18)$$

Se $d\lambda^a/du$ fossem componentes de vetor, o termo $X_{bc}^{a'} \equiv \partial^2 x^{a'}/\partial x^b \partial x^c$ não existiria. O motivo da presença desse termo está na definição da derivada utilizada:

$$\frac{d\lambda^a}{du} \equiv \lim_{\delta u \rightarrow 0} \frac{\lambda^a(u + \delta u) - \lambda^a(u)}{\delta u} \quad (3.19)$$

Aqui, tiramos a diferença de componentes em *pontos diferentes* de γ . Uma vez que, em geral, as transformações de coeficientes dependem na posição, temos que $(X_b^{a'})_u \neq (X_b^{a'})_{u+\delta u}$, o que significa que as diferenças de componentes não são componentes de um vetor. No limite, a diferença de $(X_b^{a'})_u$ e $(X_b^{a'})_{u+\delta u}$ aparece como $X_{bc}^{a'}$. Para resolver esse problema, precisamos tomar a diferença entre as componentes no mesmo ponto de γ , e podemos fazer isso com a noção de transporte paralelo introduzida anteriormente.

Seja P o ponto em γ com parâmetro u e Q um ponto na vizinhança com parâmetro $u + \delta u$. Então, $\lambda^a(u + \delta u)$ é um vetor em Q , assim como o vetor $\bar{\lambda}^a$ obtido pelo transporte paralelo de $\lambda^a(u)$ de P até Q . Desse modo, a diferença $\lambda^a(u + \delta u) - \bar{\lambda}^a$ é um vetor em Q e, portanto, o quociente $(\lambda^a(u + \delta u) - \bar{\lambda}^a)/\delta u$ também o é. É o limite desse quociente (ao passo que $\delta u \rightarrow 0$) que chamamos da *derivada absoluta* $D\lambda^a/du$ de $\lambda^a(u)$ ao longo de γ . Mas

$$\lambda^a(u + \delta u) \approx \lambda^a(u) + \frac{d\lambda^a}{du}\delta u$$

E, da equação **eq:AproximacaoTransporteParalelo**, tiramos

$$\bar{\lambda}^a \approx \lambda^a(u) - \Gamma_{bc}^a \lambda^b(u) \delta x^c$$

Assim,

$$\frac{\lambda^a(u + \delta u) - \bar{\lambda}^a}{\delta u} \approx \frac{d\lambda^a}{du} + \Gamma_{bc}^a \lambda^b(u) \frac{\delta x^c}{\delta u}$$

Quando $\delta u \rightarrow 0$, o ponto Q tende ao ponto P e o limite do quociente é

$$\boxed{\frac{D\lambda^a}{du} \equiv \frac{d\lambda^a}{du} + \Gamma_{bc}^a \lambda^b \frac{dx^c}{du}} \quad (3.20)$$

Onde todas as quantidades são avaliadas no mesmo ponto P em γ . Assim, a derivada absoluta de um campo vetorial ao longo de uma curva não depende apenas de sua derivada total (que não gera um campo vetorial), mas dos coeficientes de conexão Γ_{bc}^a

mostrar que a derivada absoluta é campo vetorial (a partir da eq. 2.43)

3.4 *Coordenadas geodésicas

3.5 *O espaço-tempo da Relatividade Geral

O espaço-tempo da Relatividade Restrita é uma variedade pseudo-Riemanniana quadridimensional com um sistema global de coordenadas no qual o tensor de métrica é da forma

$$[\eta_{\mu\nu}] \equiv \begin{bmatrix} 1 & 0 & 0 & 0 \\ 0 & -1 & 0 & 0 \\ 0 & 0 & -1 & 0 \\ 0 & 0 & 0 & -1 \end{bmatrix}$$

Esses sistemas de coordenadas são chamados de Cartesianos. Eles estão relacionados com as coordenadas mais familiares t, x, y, z por $x^0 \equiv ct, x^1 \equiv x, x^2 \equiv y, x^3 \equiv z$, onde c é a velocidade da luz.

Um dos requerimentos do espaço-tempo da Relatividade Geral é que, localmente, ele deve ser próximo do espaço-tempo da Relatividade Restrita. Como explicado na seção 3.4, podemos construir um sistema de coordenadas em torno de qualquer ponto P no espaço-tempo da Relatividade Geral no qual $(\Gamma_{\nu\sigma}^\mu)_P = 0$ e $(x^\mu)_P = (0, 0, 0, 0)$. Isso significa que $(\partial_\sigma g_{\mu\nu})_P = 0$. Desse modo, para pontos próximos de P onde as coordenadas (x^μ) são pequenas, o teorema de Taylor nos diz

$$g_{\mu\nu} \approx \eta_{\mu\nu} + \frac{1}{2} (\partial_\alpha \partial_\beta g_{\mu\nu})_P x^\alpha x^\beta \quad (3.21)$$

3.6 Leis de Newton

A primeira lei de Newton diz que “Todo corpo continua seu estado de repouso ou de movimento uniforme em uma linha reta, a menos que seja forçado a mudar aquele estado por forças aplicadas sobre ele”. De fato, em um referencial inercial onde podem-se desconsiderar os coeficientes de conexão $\Gamma_{\nu\sigma}^\mu$, a equação geodésica se reduz a $d^2 x^\mu / d\tau^2 = 0$. Para velocidades não relativísticas, temos que $d\tau/dt \approx 1$, o que resulta em $d^2 x^i / dt^2 = 0$ ($i = 1, 2, 3$), que é a equação de movimento newtoniana de uma partícula livre de forças.

A segunda lei de Newton é comumente escrita na equação 3-vetorial:

$$\frac{d\mathbf{p}}{dt} = \mathbf{F}$$

onde \mathbf{p} é o momento linear e \mathbf{F} é a força aplicada. Sua generalização para a Relatividade Geral é dada pela equação **eq:SegundaLeiDeNewtonGeneralizada**.

Já a terceira lei deve ser tratada com cuidado. Ela diz que “A toda ação há sempre uma reação oposta e de igual intensidade: as ações mútuas de dois corpos um sobre o outro são sempre iguais e dirigidas em sentidos opostos.”. Para a Relatividade Geral, a ideia de força gravitacional é substituída pela ideia de que um corpo massivo curva o espaço-tempo a seu redor. É importante notar que essa abordagem ignora a curvatura produzida pela partícula seguindo a geodésica, ou seja, ela é uma partícula teste e não se considera seus efeitos sobre o corpo produzindo o campo gravitacional.

3.7 *Potencial gravitacional e a geodésica

Suponha um sistema de coordenadas no qual o tensor de métrica é dado por

$$g_{\mu\nu} \equiv \eta_{\mu\nu} + h_{\mu\nu} \quad (3.22)$$

onde $h_{\mu\nu}$ é pequeno mas não desprezível. Além disso, considere que o campo gravitacional, expresso por $h_{\mu\nu}$ é quasi-estático, isto é, $\partial_0 h_{\mu\nu} \equiv c^{-1} \partial h_{\mu\nu} / \partial t \ll \partial_i h_{\mu\nu} (i = 1, 2, 3)$.

Se, em vez de utilizarmos o tempo próprio τ como parâmetro, mas a coordenada do tempo t , definida por $x^0 \equiv ct$, então a equação de geodésica que dá a trajetória de uma partícula livre é da forma

$$\frac{d^2 x^\mu}{dt^2} + \Gamma_{\nu\sigma}^\mu \frac{dx^\nu}{dt} \frac{dx^\sigma}{dt} = h(t) \frac{dx^\mu}{dt} \quad (3.23)$$

Onde

$$h(t) \equiv -\frac{d^2 t}{d\tau^2} \left(\frac{dt}{d\tau} \right)^{-2} = \frac{d^2 \tau}{dt^2} \left(\frac{d\tau}{dt} \right)^{-1} \quad (3.24)$$

prova no caderno de exercícios, pg. 4 [trocar s por τ]

Dividindo-se por c^2 , a parte espacial da equação (3.23) pode ser escrita como

$$\frac{1}{c^2} \frac{d^2 x^i}{dt^2} + \Gamma_{00}^i + 2\Gamma_{0j}^i \left(\frac{1}{c} \frac{dx^j}{dt} \right) + \Gamma_{jk}^i \left(\frac{1}{c} \frac{dx^j}{dt} \right) \left(\frac{1}{c} \frac{dx^k}{dt} \right) = \frac{1}{c} h(t) \left(\frac{1}{c} \frac{dx^i}{dt} \right). \quad (3.25)$$

O último termo da esquerda pode ser ignorado, por estarmos tratando velocidades baixas.

Se definirmos $h^{\mu\nu} \equiv \eta^{\mu\sigma} \eta^{\nu\rho} h_{\sigma\rho}$, então temos que, para aproximações de primeira ordem em $h_{\mu\nu}$ e $h^{\mu\nu}$,

$$g^{\mu\nu} = \eta^{\mu\nu} - h^{\mu\nu} \quad \text{e} \quad \Gamma_{\nu\sigma}^\mu = \frac{1}{2} \eta^{\mu\rho} (\partial_\nu h_{\sigma\rho} + \partial_\sigma h_{\nu\rho} - \partial_\rho h_{\nu\sigma}) \quad (3.26)$$

Demonstração. Suponha que $g^{\mu\nu} = \eta^{\mu\nu} + f^{\mu\nu}$, onde $f^{\mu\nu}$ é pequeno. Então,

$$\delta_\nu^\mu = g^{\mu\sigma} g_{\sigma\nu} = (\eta^{\mu\sigma} + f^{\mu\sigma}) (\eta_{\sigma\nu} + h_{\sigma\nu}) \approx \eta^{\mu\sigma} \eta_{\sigma\nu} + \eta^{\mu\sigma} h_{\sigma\nu} + f^{\mu\sigma} \eta_{\sigma\nu}$$

$$\Rightarrow f^{\mu\sigma} \eta_{\sigma\nu} = (\delta_\nu^\mu - \eta^{\mu\sigma} \eta_{\sigma\nu}) - \eta^{\mu\sigma} h_{\sigma\nu} = -\eta^{\mu\sigma} h_{\sigma\nu}$$

Contraindo-se com $\eta^{\nu\rho}$, chegamos em

$$f^{\mu\rho} = -h^{\mu\rho} \Rightarrow g^{\mu\nu} = \eta^{\mu\nu} - h^{\mu\nu}$$

Note, também, que abaixando-se o primeiro índice dos coeficientes de conexão, chegamos em $\Gamma_{\rho\nu\sigma} = g_{\rho\mu}\Gamma_{\nu\sigma}^{\mu} = \frac{1}{2}g_{\rho\mu}g^{\mu\kappa}(\partial_{\nu}g_{\sigma\kappa} + \partial_{\sigma}g_{\nu\kappa} - \partial_{\kappa}g_{\mu\nu}) = \frac{1}{2}(\partial_{\nu}g_{\sigma\rho} + \partial_{\sigma}g_{\nu\rho} - \partial_{\rho}g_{\nu\sigma}) = \frac{1}{2}(\partial_{\nu}h_{\sigma\rho} + \partial_{\sigma}h_{\nu\rho} - \partial_{\rho}h_{\nu\sigma})$. Contraindo-se com $g^{\mu\nu} = \eta^{\mu\nu} - h^{\mu\nu}$, temos

$$\Gamma_{\nu\sigma}^{\mu} = g^{\mu\rho}\Gamma_{\rho\nu\sigma} = \frac{1}{2}(\eta^{\mu\rho} - h^{\mu\rho})(\partial_{\nu}h_{\sigma\rho} + \partial_{\sigma}h_{\nu\rho} - \partial_{\rho}h_{\nu\sigma}) \approx \frac{1}{2}\eta^{\mu\rho}(\partial_{\nu}h_{\sigma\rho} + \partial_{\sigma}h_{\nu\rho} - \partial_{\rho}h_{\nu\sigma})$$

□

Assim, desconsiderando-se os valores $\partial_0 h_{\mu\nu}$ ao somá-los com $\partial_i h_{\mu\nu}$,

$$\begin{aligned}\Gamma_{00}^i &= \frac{1}{2}\eta^{i\rho}(\partial_0 h_{0\rho} + \partial_0 h_{0\rho} - \partial_{\rho}h_{00}) = \frac{1}{2}\eta^{i\rho}(\partial_0 h_{0\rho} + \partial_0 h_{0\rho} - \partial_{\rho}h_{00}) \\ &\approx -\frac{1}{2}\eta^{ij}\partial_j h_{00} = \frac{1}{2}\delta^{ij}\partial_j h_{00}\end{aligned}$$

e

$$\begin{aligned}\Gamma_{0j}^i &= \frac{1}{2}\eta^{i\rho}(\partial_0 h_{j\rho} + \partial_j h_{0\rho} - \partial_{\rho}h_{0j}) \\ &\approx -\frac{1}{2}\delta^{ik}(\partial_j h_{0k} - \partial_k h_{0j})\end{aligned}$$

Assim, aproximamos todos os termos do lado esquerdo da equação (3.25). Analogamente, negligenciando produtos de $c^{-1}dx^i/dt$, temos que, a partir de

$$\left(\frac{d\tau}{dt}\right)^2 = \frac{1}{c^2}g_{\mu\nu}\frac{dx^{\mu}}{dt}\frac{dx^{\nu}}{dt}$$

que

$$d\tau/dt \approx \left(g_{00}(d(ct)/dt)^2 c^{-2}\right)^{1/2} = (1 + h_{00})^{1/2} \approx 1 + \frac{1}{2}h_{00}$$

Assim,

$$d^2\tau/dt^2 = \frac{1}{2}ch_{00,0} \Rightarrow \frac{1}{c}h(t) = \frac{1}{2}h_{00,0}\left(1 - \frac{1}{2}h_{00}\right) = \frac{1}{2}h_{00,0},$$

a partir da equação (3.24).

Assim, o lado direito da equação (3.25) pode ser desprezado e, então, a aproximação em primeira ordem nos dá

$$\frac{1}{c^2}\frac{d^2x^i}{dt^2} + \frac{1}{2}\delta^{ij}\partial_j h_{00} - \delta^{ik}(\partial_j h_{0k} - \partial_k h_{0j})\frac{1}{c}\frac{dx^j}{dt} = 0$$

Introduzindo a massa m da partícula e rearranjando os termos, temos

$$m\frac{d^2x^i}{dt^2} = -m\delta^{ij}\partial_j \left(\frac{1}{2}c^2h_{00}\right) + mc\delta^{ik}(\partial_j h_{0k} - \partial_k h_{0j})\frac{dx^j}{dt} \quad (3.27)$$

Analisando esse resultado em termos da segunda lei de Newton, o lado esquerdo da equação é a massa vezes a aceleração da partícula, então o lado direito é a “força gravitacional” atuando sobre ela. O primeiro termo é a força $-m\nabla V$ gerado pelo potencial $V \equiv \frac{1}{2}c^2h_{00}$, ao passo que o segundo termo depende da velocidade e indica um termo rotacional. Se definirmos um sistema de coordenadas em que $\partial_j h_{0k} - \partial_k h_{0j}$ é não-rotacional, temos que, para uma partícula em velocidades baixas em um sistema inercial, não-rotacional, em que vale a condição quasi-estática, vale que

$$d^2x^i/dt^2 = -\delta^{ij}\partial_j V, \quad (3.28)$$

com

$$V \equiv \frac{1}{2}c^2 h_{00} + V_0. \quad (3.29)$$

Essa é a equação de movimento newtoniana de uma partícula se movendo em um potencial gravitacional V dado por (3.29). Isso nos dá

$$g_{00} = 1 + 2(V - V_0)/c^2.$$

Escolhendo $V_0 = 0$ de modo que $g_{00} = 1$ quando $V = 0$, de modo a retornarmos ao caso plano, temos que

$$\boxed{g_{00} = 1 + 2V/c^2} \quad (3.30)$$

é a relação entre g_{00} e o potencial newtoniano V para essa aproximação.

3.8 Lei da gravitação universal de Newton

A solução de Schwarzschild é uma solução exata das equações de campo da Relatividade Geral e pode-se interpretá-la como representando o campo produzido por um corpo massivo. Como deduzido no capítulo 4, seu elemento de linha é

$$c^2 d\tau^2 = \left(1 - 2GM/rc^2\right) c^2 dt^2 - \left(1 - 2GM/rc^2\right)^{-1} dr^2 - r^2 d\theta^2 - r^2 \sin^2 \theta d\phi^2,$$

onde M é a massa do corpo e G a constante gravitacional. Para pequenos valores de GM/rc^2 isso se aproxima do elemento de linha do espaço-tempo plano em coordenadas esféricas, onde r é a distância radial. Se definirmos as coordenadas

$$x^0 \equiv ct, \quad x^1 \equiv r \sin \theta \cos \phi, \quad x^2 \equiv r \sin \theta \sin \phi, \quad x^3 \equiv r \cos \theta,$$

obtemos um elemento de linha cujo tensor de métrica tenha a forma $g_{\mu\nu} = \eta_{\mu\nu} + h_{\mu\nu}$, em que, para valores grandes de rc^2/GM , as quantidades $h_{\mu\nu}$ são pequenas e $g_{00} = 1 - 2GM/rc^2$. Isso nos dá $h_{00} = -2GM/rc^2$ e, de acordo com os resultados da seção 3.7, um potencial newtoniano $V = -GM/r$. A versão vetorial da equação (3.28) é

$$m d^2 \mathbf{r} / dt^2 = -m \nabla V = -GMm r^{-2} \hat{\mathbf{r}},$$

onde $\mathbf{r} \equiv (x^1, x^2, x^3)$, m é a massa da partícula de teste e $\hat{\mathbf{r}} \equiv \mathbf{r}/|\mathbf{r}|$. Esse resultado corrobora com o esperado ao aplicar-se a segunda lei de Newton na lei da gravitação universal, de modo que essa lei é recuperada como uma aproximação válida para grandes valores de rc^2/GM e partículas com velocidades baixas.

3.9 *Sistema de referencial giratório

Capítulo 4

Equações de campo e curvatura

4.1 Tensor de energia-momento e dinâmica de fluidos

Tratamos, à princípio, de espaços planos, em referenciais inerciais, nesta seção. Utilizaremos 4-vetores e 3-vetores, simbolizando estes com o negrito.

$$\lambda^\mu \equiv (\lambda^0, \lambda^1, \lambda^2, \lambda^3) \equiv (\lambda^0, \boldsymbol{\lambda})$$

Considere uma partícula, com algumas quantidades relevantes:

$$\begin{aligned} m &\equiv \text{massa de repouso da partícula,} \\ t &\equiv \text{tempo do referencial (tempo coordenado),} \\ \tau &\equiv \text{tempo próprio da partícula,} \\ \gamma &\equiv dt/d\tau = (1 - v^2/c^2)^{-1/2}, \text{ onde } v \text{ é a velocidade da partícula,} \\ E &\equiv \gamma mc^2 \equiv \text{energia da partícula,} \\ u^\mu &\equiv dx^\mu/d\tau \equiv \text{4-velocidade da partícula} \\ v^\mu &\equiv dx^\mu/dt \equiv u^\mu/\gamma \equiv \text{velocidade da partícula} \\ p^\mu &\equiv mu^\mu \equiv \text{4-momento da partícula.} \end{aligned}$$

Assim, na notação definida, $v^\mu \equiv (c, \mathbf{v})$, onde \mathbf{v} é a 3-velocidade da partícula, de modo que o v que aparece na fórmula de γ é $|\mathbf{v}|$.

Uma partícula estacionária situada em um ponto cujo vetor posição é \mathbf{x}_0 possui 4-velocidade

$$u^\mu \equiv dx^\mu/d\tau = d(c\tau, \mathbf{x}_0)/d\tau = (c, \mathbf{0})$$

e momento

$$p^\mu = (c, \mathbf{0}).$$

A zero-ésima componente de p^μ é, neste caso, a *energia de repouso* a menos de um fator c . Para uma partícula em movimento, temos

$$p^\mu \equiv mu^\mu = \gamma mv^\mu = (\gamma mc, \gamma m\mathbf{v}) = (E/c, \mathbf{p}). \quad (4.1)$$

Vamos, agora, tratar de uma distribuição contínua de matéria. Por simplicidade, trabalharemos com um fluido perfeito, que é caracterizado por dois campos escalares, sua densidade ρ e sua pressão p ; e por um campo vetorial, sua 4-velocidade u^μ .

A fim de que ρ seja um campo escalar, deve-se defini-lo de modo que seja a *densidade própria*, isto é, a massa de repouso por unidade de volume de repouso. Aqui, no lugar do 4-momento da partícula $p^\mu \equiv mu^\mu$, temos a 4-densidade de momento ρu^μ .

Procura-se, então, um tensor de que, de alguma maneira, represente a energia do fluido e que, ao ser levado a um espaço-tempo curvo, possa agir como a origem do campo gravitacional. Na Relatividade Geral, perde-se a distinção de massa e energia, então toda forma de energia deveria produzir um campo gravitacional. Iremos simplesmente escrevê-lo e, então, interoretar seu significado físico. Ele é o chamado tensor de energia-momento e é definido como

$$T^{\mu\nu} \equiv (\rho + p/c^2) u^\mu u^\nu - p\eta^{\mu\nu}. \quad (4.2)$$

Pode-se notar que $T^{\mu\nu}$ é simétrico e depende dos campos vetoriais e escalares ρ, p e u^μ que caracterizam o fluido. Além disso, temos que

$$T^{\mu\nu} u_\nu = c^2 (\rho + p/c^2) u^\mu - p u^\mu = c^2 \rho u^\mu,$$

de modo que $T^{\mu\nu} u_\nu$ é, a menos de um fator c^2 , a 4-densidade de momento do fluido. Finalmente, colocando sua divergência $T^{\mu\nu}_{;\mu}$ como zero nos dá duas equações importantes: a equação da continuidade e a equação de movimento.

Fazendo a divergencia $T^{\mu\nu}_{;\mu}$ igual a zero nos diferenciá

$$(\rho u^\mu)_{;\mu} u^\nu + \rho u^\mu u^\nu_{;\mu} + (p/c^2) u^\mu_{;\mu} u^\nu + (p/c^2) u^\mu u^\nu_{;\mu} + c^{-2} p_{;\mu} u^\mu u^\nu - p_{;\mu} \eta^{\mu\nu} = 0. \quad (4.3)$$

Notando que a 4-velocidade u^ν satisfaz $u^\nu u_\nu = c^2$, temos

$$u^\nu u_\nu = g_{\nu\sigma} u^\nu u^\sigma = c^2$$

e, diferenciando (notando que $g_{\nu\sigma;\mu} = 0$), chegamos em

$$g_{\nu\sigma} (u^\nu_{;\mu} u^\sigma + u^\nu u^\sigma_{;\mu}) = 0 \Rightarrow g_{\nu\sigma} u^\nu_{;\mu} u^\sigma + g_{\sigma\nu} u^\sigma_{;\mu} u^\nu = 2u^\nu_{;\mu} u_\nu = 0$$

Assim, temos que $u^\nu_{;\mu} u_\nu = 0$. Contraindo, então, a equação (4.3) com u_ν e dividindo por c^2 nos dá:

$$\boxed{(\rho u^\mu)_{;\mu} + (p/c^2) u^\mu_{;\mu} = 0.} \quad (4.4)$$

Colocando esse resultado na equação (4.3), temos que ela simplifica para

$$\boxed{(\rho + p/c^2) u^\nu_{;\mu} u^\mu = (\eta^{\mu\nu} - c^{-2} u^\mu u^\nu) p_{;\mu}.} \quad (4.5)$$

Vamos mostrar, agora, que a equação (4.4) e (4.5), para fluidos em baixas velocidades e baixas pressões, reduzem para as equações clássicas de continuidade e de movimento de um fluido perfeito. Velocidades baixas implica que $\gamma = 1$ e baixas pressões significa que $p/c^2 \ll \rho$. Assim, a equação (4.4) reduz para

$$(\rho v^\mu)_{;\mu} = 0,$$

o que dá

$$(\rho c)_{;0} + (\rho v^i)_{;i} = 0$$

e, em notação 3-vetorial isso é

$$\boxed{\partial\rho/\partial t + \nabla \cdot (\rho\mathbf{v}) = 0,} \quad (4.6)$$

que é a equação da continuidade clássica (citar referência).

Já a equação (4.5), nessa aproximação, reduz-se a

$$\rho v_{,\mu}^\nu v^\mu = (\eta^{\mu\nu} - c^{-2} v^\mu v^\nu) p_{,\mu}$$

e, para baixas velocidades, temos que

$$[\eta^{\mu\nu} - c^{-2} v^\mu v^\nu] \approx \begin{bmatrix} 0 & 0 & 0 & 0 \\ 0 & -1 & 0 & 0 \\ 0 & 0 & -1 & 0 \\ 0 & 0 & 0 & -1 \end{bmatrix},$$

de modo que as zero-ésimas componentes de ambos os lados da equação são zero. As outras componentes podem ser escritas como

$$\rho v^i_{,\mu} v^\mu = \rho \left[\partial v^i / \partial t + v^i_{,j} v^j \right] = -\delta^{ji} p_{,j}.$$

Em notação 3-vetorial, essa ultima igualdade é escrita como

$$\boxed{\rho(\partial/\partial t + \mathbf{v} \cdot \nabla) \mathbf{v} = -\nabla p} \quad (4.7)$$

que é a equação de movimento de Euler clássica para um fluido perfeito (**citar referência**).
(pág. 100)

4.2 *Tensor de curvatura

Por questão de generalidade, esta seção tratará de variedades N -dimensionais, de modo que se utilizarão sufixos a, b, \dots , os quais vão de 1 a N , em vez de μ, ν, \dots que vão de 0 a 3.

Vamos primeiramente estudar de perto uma propriedade da diferenciação covariante que difere da diferenciação parcial – a ordem em que são feitas as operações importa, e mudar a ordem (em geral) muda o resultado.

A derivada covariante de um campo vetorial covariante λ_a é

$$\lambda_{a;b} \equiv \partial_b \lambda_a - \Gamma_{ab}^d \lambda_d,$$

Uma segunda diferenciação nos dá

$$\begin{aligned} \lambda_{a;bc} &= \partial_c (\lambda_{a;b}) - \Gamma_{ac}^e \lambda_{e;b} - \Gamma_{bc}^e \lambda_{a;e} \\ &= \partial_c \partial_b \lambda_a - (\partial_c \Gamma_{ab}^d) \lambda_d - \Gamma_{ab}^d \partial_c \lambda_d - \Gamma_{ac}^e (\partial_b \lambda_e - \Gamma_{eb}^d \lambda_d) - \Gamma_{bc}^e (\partial_e \lambda_a - \Gamma_{ae}^d \lambda_d). \end{aligned}$$

Intercalando b e c e, então, subtraindo as expressões nos dá

$$\lambda_{a;bc} - \lambda_{a;cb} = R_{abc}^d \lambda_d, \quad (4.8)$$

onde

$$\boxed{R_{abc}^d \equiv \partial_b \Gamma_{ac}^d - \partial_c \Gamma_{ab}^d + \Gamma_{ac}^e \Gamma_{eb}^d - \Gamma_{ab}^e \Gamma_{ec}^d}. \quad (4.9)$$

Como o lado esquerdo da equação (4.8) é um tensor para vetores λ_a arbitrários, a contração de R_{abc}^d com λ_d também é um tensor e, como R_{abc}^d não depende de λ_a , o Teorema do Quociente leva-nos a concluir que R_{abc}^d é um tensor do tipo $(1, 3)$. Denomina-se tensor de curvatura (ou tensor de Riemann).

Então, a condição necessária e suficiente para que a ordem em que a diferenciação covariante de um tensor $(0, 1)$ qualquer pode ser trocada é que $R^a_{bcd} = 0$.

Fazer exercício 3.2.1 e afirmar que é válido para qualquer campo

No espaço-tempo plano da Relatividade Especial, sabemos que existem referenciais em que $g_{\mu\nu} = \eta_{\mu\nu}$ e que, nesses sistemas coordenados, $\Gamma^\mu_{\nu\sigma} = 0$ e, então, o tensor de curvatura é identicamente nulo. **Problema 3.1 como exemplo**

Podemos, agora, formalizar a definição de **planicidade**. Uma variedade (ou uma região de uma variedade) é *plana* se, em todos os seus pontos, $R^a_{bcd} = 0$; de outro modo, ela é *curvada*.

A princípio, o tensor R^a_{bcd} possui N^4 componentes. No entanto, ele possui muitas simetrias e suas componentes satisfazem uma identidade importante, de modo que esse número abaixa para $N^2(N^2 - 1)/12$ componentes independentes. A identidade é a seguinte relação:

$$R^a_{bcd} + R^a_{cdb} + R^a_{dbc} = 0. \quad (4.10)$$

Chama-se *identidade cíclica*. As simetrias desse tensor são mais facilmente expressas em termos do tensor associado do tipo $(0, 4)$ **MOSTRAR RELAÇÃO CICLICA 3.14**

$$R_{abcd} \equiv g_{ae} R^e_{bcd}.$$

A partir das equações 2.33 2.35 e 2.36 chegamos em

$$R_{abcd} \equiv \frac{1}{2} (\partial_d \partial_a g_{bc} - \partial_d \partial_b g_{ac} + \partial_c \partial_b g_{ad} - \partial_c \partial_a g_{bd}) - g^{ef} (\Gamma_{eac} \Gamma_{fbd} - \Gamma_{ead} \Gamma_{fbc}) \quad (4.11)$$

A partir disso, apenas é necessário checarem-se as seguintes propriedades:

$$R_{abcd} = -R_{bacd} \quad (4.12)$$

$$R_{abcd} = -R_{abdc} \quad (4.13)$$

$$R_{abcd} = R_{cdab} \quad (4.14)$$

Segue de ((4.12)) que

$$R^a_{acd} = 0.$$

Demonstração. Provar relações 3.16-3.17

□

4.3 *Curvatura e transporte paralelo

Discutiu-se na Seção 3.2 que o transporte paralelo em uma variedade curvada dependia do caminho, mostrando especificamente que esse era o caso para uma esfera. No entanto, nós agora formalizamos o conceito de curvatura em termos do tensor de Riemann. Nesta seção, o intuito é deixar clara a conexão entre esse o transporte paralelo e o tensor de curvatura. Mais especificamente, mostraremos como a mudança $\Delta \lambda^a$ que resulta do transporte paralelo de um vetor λ^a ao longo de uma pequena curva fechada ao redor de um ponto P se relaciona com o tensor de curvatura em P .

Suponha, por exemplo, que λ^a é transportado paralelamente ao longo de uma curva γ de um ponto inicial O em que suas componentes são λ^a_0 . Se γ é parametrizado por t , então λ^a satisfaz a equação diferencial

$$\frac{d\lambda^a}{dt} = -\Gamma^a_{bc} \lambda^b \frac{dx^c}{dt}, \quad (4.15)$$

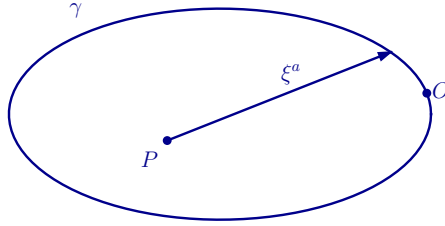


Figura 4.1: Uma curva pequena ao redor de P .

de onde podemos chegar que λ satisfaz a equação integral

$$\lambda^a = \lambda_0^a - \int \Gamma_{bc}^a \lambda^b dx^c, \quad (4.16)$$

onde a integral é tomada ao longo de γ do ponto inicial O . Assim, podemos calcular a mudança $\Delta\lambda^a$ à medida que λ é transportado ao longo de uma curva pequena próxima a P . Se P possui coordenadas x_P^a , então os pontos na curva possuirão coordenadas x^a dadas por

$$x^a = x_P^a + \xi^a$$

onde os ξ^a são pequenos. As diferenças entre coordenadas ξ^a podem ser pensadas como um vetor partindo de P para um ponto qualquer de γ . (veja a Figura 4.1). Como os x_P^a são constantes, a equação (4.16) pode ser escrita como

$$\lambda^a = \lambda_0^a - \int \Gamma_{bc}^a \lambda^b d\xi^c. \quad (4.17)$$

Apesar de termos chegado em uma relação entre λ^a e λ_0^a , nós não podemos calculá-la de uma maneira direta, uma vez que o vetor transportado também aparece na integral à direita. No entanto, podemos utilizar essa relação para conseguir aproximações cada vez melhores que são válidas quando λ^a não muda muito de seu valor inicial λ_0^a , que será o caso para nossa curva pequena próxima de P .

Como uma primeira aproximação, podemos utilizar $\lambda^b = \lambda_0^b$ na integral ao lado direito e, então, podemos utilizar o resultado como uma aproximação melhor.

$$\begin{aligned} \lambda^a &= \lambda_0^a - \int \Gamma_{bc}^a \lambda_0^b d\xi^c \\ &= \lambda_0^a - \lambda_0^b \int \Gamma_{bc}^a d\xi^c. \end{aligned}$$

Utilizando esse resultado ao lado direito, podemos chegar em uma aproximação ainda melhor:

$$\begin{aligned} \lambda^a &= \lambda_0^a - \int \Gamma_{bc}^a \left(\lambda_0^b - \lambda_0^d \int \Gamma_{de}^b d\xi^e \right) d\xi^c \\ &= \lambda_0^a - \lambda_0^b \int \Gamma_{bc}^a d\xi^c + \lambda_0^d \int \Gamma_{bc}^a \left(\int \Gamma_{de}^b d\xi^e \right) d\xi^c. \end{aligned} \quad (4.18)$$

Esse processo pode ser repetido indefinidamente, mas a aproximação dada por (4.18) é o suficiente para o nosso propósito, o qual envolve utilizar aproximações de segunda ordem em ξ^a .

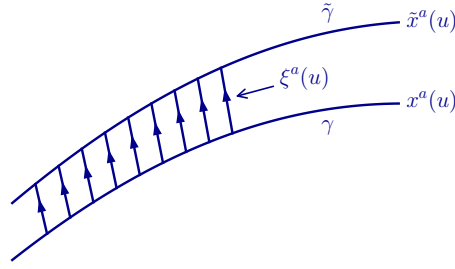


Figura 4.2: Geodesic deviation.

4.4 *Desvio geodésico

4.5 *Equações de campo de Einstein

4.6 *Equações de Einstein e de Poisson

4.7 *A solução de Schwarzschild

As equações de campo discutidas aqui são extremamente difíceis de serem resolvidas, visto que possuem um alto grau de não-linearidade. Assim, para encontrar soluções, é preciso simplificar o problema, isto é, buscar situações de alta simetria.

A primeira solução das equações de campo foi uma solução especial e foi obtida por K. Schwarzschild em 1916. O que foi procurado foi o campo tensorial de métrica representando um campo gravitacional estático e de simetria esférica situado no espaço-tempo vazio em torno de um objeto esférico massivo, tal como uma estrela. Suas suposições para o problema foram: (comentar sobre a condição (a) ser redundante?)

- (a) o campo é estático,
- (b) o campo possui simetria esférica,
- (c) o espaço-tempo está vazio,
- (d) o espaço-tempo é assintoticamente plano.

Também assumiu-se que o espaço-tempo poderia ser descrito por um sistema de coordenadas (t, r, θ, ϕ) , onde t é uma coordenada do tipo tempo»» $\dot{}$,

Então, procurou-se um elemento de linha da forma

$$c^2 d\tau^2 = A(r)dt^2 - B(r)dr^2 - r^2 d\theta^2 - r^2 \sin^2 \theta d\phi^2, \quad (4.19)$$

onde $A(r)$ e $B(r)$ são funções desconhecidas de r a serem obtidas ao resolver as equações.

O fato que nenhum dos termos depende de t reflete a suposição ((a)), e o fato que as superfícies dadas por r, t constantes têm elementos de linha dados por

$$ds^2 = r^2 (d\theta^2 + \sin^2 \theta d\phi^2) \quad (4.20)$$

mostra que possuem a geometria de esferas (**Exercício 1.6.2**) e isso indica sua suposição ((b)). A suposição ((c)) significa que $A(r), B(r)$ devem ser encontrados utilizando as equações de campo do espaço-tempo vazio $R_{\mu\nu} = 0$, ao passo que a suposição ((d)) nos dá as condições de contorno em A, B :

$$A(r) \rightarrow c^2 \quad \text{e} \quad B(r) \rightarrow 1 \quad \text{quando} \quad r \rightarrow \infty \quad (4.21)$$

r não é a distância radial???

Vamos agora extrair a solução de Schwarzschild das equações de campo. O intuito é utilizar o tensor de métrica $g_{\mu\nu}$ obtido pelo elemento de linha `ElementoLinhaSchwarzschildPostulado` como uma tentativa de solução da equação de campo para o espaço-tempo vazio. Da equação **eq:DefinicaoTensorRicci**, temos

$$R_{\mu\nu} \equiv \partial_\nu \Gamma_{\mu\sigma}^\sigma - \partial_\sigma \Gamma_{\mu\nu}^\sigma + \Gamma_{\mu\sigma}^\rho \Gamma_{\rho\nu}^\sigma - \Gamma_{\mu\nu}^\rho \Gamma_{\rho\sigma}^\sigma$$

e do exemplo **FAZER PROBLEMA 2.7**, temos

$$\begin{aligned} \Gamma_{01}^0 &= A'/2A, & \Gamma_{00}^1 &= A'/2B, & \Gamma_{11}^1 &= B'/2B, \\ \Gamma_{22}^1 &= -r/B, & \Gamma_{33}^1 &= -(r \sin^2 \theta)/B, & \Gamma_{12}^2 &= 1/r, \\ \Gamma_{33}^2 &= -\sin \theta \cos \theta, & \Gamma_{13}^3 &= 1/r, & \Gamma_{23}^3 &= \cot \theta, \end{aligned}$$

com todos os outros coeficientes de conexão nulos. Aqui fizemos a identificação das coordenadas $x^0 \equiv t, x^1 \equiv r, x^2 \equiv \theta, x^3 \equiv \phi$ e a linha significa uma diferenciação com respeito a r . **FAZER AS CONTA CHATA, a partir de $R_{\mu\nu} = 0$** , temos

$$R_{00} = -\frac{A''}{2B} + \frac{A'}{4B} \left(\frac{A'}{A} + \frac{B'}{B} \right) - \frac{A'}{rB} = 0, \quad (4.22)$$

$$R_{11} = \frac{A''}{2A} - \frac{A'}{4A} \left(\frac{A'}{A} + \frac{B'}{B} \right) - \frac{B'}{rB} = 0 \quad (4.23)$$

$$R_{22} = \frac{1}{B} - 1 + \frac{r}{2B} \left(\frac{A'}{A} - \frac{B'}{B} \right) = 0 \quad (4.24)$$

$$R_{33} = R_{22} \sin^2 \theta = 0 \quad (4.25)$$

e $R_{\mu\nu} = 0$ sem nenhuma condição a mais para $\mu \neq \nu$